

RNA 聚合酶参与的以双链 DNA 为模板的 RNA 体外合成,但却抑制热变性单链 DNA 为模板的 RNA 合成。我们的实验结果表明,模板构象的不同,精胺对其影响也很不相同。在一定精胺浓度范围内,无论用哪种聚合酶进行体外转录,精胺对以天然 DNA 为模板的转录有明显的激活作用,而对以变性 DNA 和 M₁³ DNA 为模板的转录影响较小。尽管两种聚合酶的模板专一性不同,但是,精胺影响转录的效应却是相似的。这说明精胺的作用主要与 DNA 模板的构象有关,而与聚合酶的关系不大。

从表 1 看出,以双链 DNA 为模板时,1—5mM 的精胺对这两种聚合酶所参与的转录反应的影响截然不同,除了反应条件不同外,这种差异似乎与聚合酶有一定关系。但是,有必要指出,在大肠杆菌 RNA 聚合酶体外转录系统中,当精胺浓度高于 1mM 时,透明的反应液变成微弱的乳白色,这说明,由于精胺的作用,出现了 DNA 或核苷酸类物质的团聚,这样便降低了反应系统的转录能力,致使放射性掺入减少。

值得注意的是,多胺与肿瘤的发生及其临

床诊断密切相关^[7,11,12],因此,多胺影响生命过程的作用机理有待深入研究。

本所生化试剂厂王淑娟、刘中昌帮助提取 RNA 聚合酶 II,谨此致谢。

参 考 文 献

- [1] Sakai, et al.: *Progress in nucleic acid research and molecular biology*, 17, 15, 1976.
- [2] Tabor, C. W. et al.: *Annual review of biochemistry*, 45, 285, 1976.
- [3] Wallace, H. M. et al.: *Biochim. Biophys. Acta*, 652, 345, 1981.
- [4] Abraham, A. K. et al.: *Trends in biochemical Sciences*, 6, 106, 1981.
- [5] Abraham, A. K. et al.: *Eur. J. Biochem.*, 5, 143, 1968.
- [6] Samson, F. J. et al.: *Biochim. Biophys. Acta*, 425, 125, 1976.
- [7] Olli, Janne, et al.: *Biochem.*, 14, 3589, 1975.
- [8] Roeder, R. G. et al. *Proc. Natl. Acad. Sci. U. S. A.*, 65, 675, 1970.
- [9] 郝桂林等:《实验生物学报》,15(1), 71, 1983。
- [10] 韩玉珉等:《遗传》,3(4), 11, 1931。
- [11] 虞惺:《中华肿瘤杂志》,3, 228, |1981|。
- [12] 焦炳华:《生命的化学》,3(4), 5, 1983。
- [13] Goyns, M. H.: *J. Theor. Biol.*, 97, 577, 1982.

【本文于 1983 年 2 月 8 日收到】

异种动物免疫 RNA 对小鼠脾淋巴细胞 cAMP 和 cGMP 的影响

赵 富 清

(海军军医学校生化教研室,南京)

从免疫宿主的淋巴样细胞中提取的免疫核糖核酸(iRNA),能在体内外传递特异的免疫反应,使正常淋巴细胞转变为对特异抗原起反应的效应细胞。但是 iRNA 的作用机制目前还不十分清楚。经 iRNA 致敏后淋巴细胞内 cAMP 和 cGMP 水平的变化,目前也尚未见报道。为探讨 iRNA 的作用机制,本实验用异种动物 iRNA 使小鼠脾淋巴细胞致敏,然后测定致敏淋巴细胞内 cAMP 和 cGMP 水平的变

化。还作了细胞介导细胞毒性实验,发现 iRNA 引起淋巴细胞内环型核苷酸水平的改变;这种改变与其传递细胞免疫功能有一定关系。

一、料材与方法

1. 实验动物 LACA 纯种小白鼠,雄性,18—22 克,2—3 月龄。山羊,雄性,3 岁。
2. 药品 DNase、DNA 钠盐(英国)Pronase(Merck)、聚乙酰硫酸钾盐(PVS)(德国),DL-

亮氨酸-4,5-³H比活性(54ci/mM)(上海原子能研究所),抗cAMP血清和抗cGMP血清(四医大生化教研室),³H-cAMP比活性20—30ci/mM,³H-cGMP比活性22ci/mM(北京原子能研究所)。3'-5'-cAMP、3'-5'-cGMP铵盐、RNaseA(上海生化所)。

3. 试剂和仪器 闪烁液 0.4% ppo-0.01% popop的二甲苯液,淋巴细胞分离液(比重1.077±0.002)(上海试剂二厂),Tris-HCl缓冲液(10mM Tris-HCl-1mM MgCl-0.3M NaCl pH 7.4)。液体闪烁计数器 FJ-2100型(西安二六二厂)。

4. 方法

(1) 肿瘤宿主系统 用小鼠腹水型S-180肉瘤细胞在成年昆明种小鼠腹腔内连续传代。实验小鼠每只腹腔内接种2—4×10⁶个活细胞,接种后7—11天备用。

(2) 免疫动物及iRNA提取 无菌条件下,取出带瘤小鼠腹水,加生理盐水混匀,离心200×g3—5分钟,弃去上清液及沉淀层底部的红细胞,再将沉淀瘤细胞悬于生理盐水中,同法离心洗涤三次。然后,将瘤细胞悬液乳化于等体积的完全福氏佐剂中,用以免疫正常山羊。第一次免疫注射是在山羊四肢皮下及双侧颈部淋巴结附近皮下,各点分别注射8×10⁷个活瘤细胞。7天后,在原各注射点再注射S-180肉瘤细胞4×10⁷个。从第二次免疫注射开始在腹腔内注射活瘤细胞8×10⁷个。以后每隔一周(同第二次一样)进行加强免疫注射一次。第四次注射时,从颈静脉抽血,作环状沉淀实验,对流免疫电泳、扩散试验,可出现明显的沉淀线。间隔两周后,同法再进行一次加强免疫注射。在末次免疫注射后7天,颈动脉放血致死,可发现脾脏、肠系膜淋巴结及全身外周淋巴结明显增大。迅速取出脾脏及上述各处淋巴结,剪碎后立即放在-20℃的80%酒精中。参照文献[1]用热酚法以氯仿除蛋白,即刻提取iRNA。制备所得的iRNA保存于-20℃的80%酒精中。此法iRNA产量一般为3—4mg/克湿组织。其紫外光谱吸收扫描呈典型的核酸吸收

峰形;A₂₆₀/A₂₈₀、A₂₆₀/A₂₃₀比值均>2;聚丙烯酰胺电泳图谱除见有28S、18S和4S集中的、较窄的RNA染色带外,在4—18S之间还分布多条较浓的RNA区带,表明提取的iRNA保持了高分子性。检测表明各批淋巴组织提取的iRNA中含DNA0.4—1.0%、蛋白质0.2—0.6%。“正常”RNA与iRNA来源相同(即未经肿瘤免疫山羊RNA)。

(3) 用iRNA致敏小鼠脾淋巴细胞 正常纯种LAca小鼠,放血致死,无菌条件下取出脾脏,冰浴中用玻璃匀浆器轻轻压挤后,按文献[2]的方法,用淋巴细胞分离液迅速分离出脾淋巴细胞。瑞氏染色分类计数,其中淋巴细胞数>95%,台盼兰检测活细胞一般为96—98%。实验组和对照组各管分别加入淋巴细胞3×10⁷个。实验组各管再加iRNA 500μg。对照一组加Tris-HCl缓冲液,对照二组加“正常”RNA 500μg,对照三组加经RNase消化的iRNA 500μg,平行管一式三份。混匀后置37℃孵箱中分别温育0、5、10、15、30、45和60分钟。

(4) 测定cAMP和cGMP水平 参照David^[3]报道,按预定时间从孵箱中取出培养管,搅匀,迅速放入-10℃的80%酒精中冷却终止反应。然后,用浓HCl-无水乙醇液[HCl:EtOH=1:60(V/V)]提取细胞内cAMP和cGMP,并用丙酮-琥珀酸酐-三乙胺酰化剂酰化样品,真空干燥后,按文献[4,5]方法进行放射性免疫测定。回放实验证明回收率都在94—100%。

(5) 细胞介导细胞毒性实验 使用两种腹水型肿瘤细胞(即S-180和H₂₂),按³H-Leu标记肿瘤细胞释放法和⁵Cr标记肿瘤细胞释放法^[6-8],各管分别加入淋巴细胞3×10⁷个,实验组加iRNA_{S-180} 500μg或iRNA_{H₂₂} 500μg,对照一组单独加淋巴细胞,对照二组加“正常”RNA 500μg,对照三组加经DNase(25μg/ml)消化的iRNA 500μg,对照四组加经RNase(25μg/ml)消化的iRNA 500μg,对照五组加经Pronase(2.5μg/ml)消化的iRNA 500μg,各管再加PVS 10μg,混匀,平行管一式三份,置37℃温

育 60 分钟。然后,用 Tris-HCl 缓冲液离心洗涤二次,再悬浮于含 20% 小牛血清的 1640 介质中,加 S-180 或 H₂₂ 瘤细胞膜抗原 0.1mg,混匀后 37°C 温育 7 小时,前者再加入 1×10^5 个 ³H-Leu 标记的 S-180 瘤细胞,后者再加入 1×10^5 个 ³Cr 标记的 H₂₂ 瘤细胞。各管中淋巴细胞与靶细胞之比为 300:1;充分混匀后低速离心 $50 \times g$ 3 分钟,置 37°C 孵箱中继续培养(前者 36 小时,后者 24 小时)。取出各管后充分混匀,离心 $500 \times g$ 10 分钟。前者取 100 μ l 上清液点在 49 型玻璃纤维滤纸片上,烘干后置 0.3ml 闪烁液中测量放射性。后者取 0.5ml 上清液直接测量放射性。沉淀的细胞台盼兰试验发现淋巴细胞存活率一般在 60% 以上。

二、结果与讨论

1.由表 1 和表 2 可见,“正常” RNA 与小鼠脾淋巴细胞温育 10 分钟时,cAMP 增加到对照值的 309.6% ($P < 0.01$), 10 分钟后 cAMP 含量逐渐减少,温育 60 分钟 cGMP 无明显变化。iRNA 与小鼠脾淋巴细胞温育后 5 分钟 cAMP 明显增加,15 分钟时达最高峰,增加到对照值的 277.1% ($P < 0.01$);温育 30 分钟时 cGMP 含量出现一个高峰,增加到对照值的 308% ($P < 0.01$)。说明 iRNA 或“正常” RNA 与小鼠脾淋巴细胞温育后,对细胞内 cAMP 和 cGMP 含量都有一定的影响。再用各时间点的 cGMP/cAMP 比值换算成对照值的百分数作图

表 1 iRNA 和“正常” RNA 对小鼠脾淋巴细胞内 cAMP 水平影响的时间过程

温育时间 (分)	iRNA			“正常” RNA		P 值	
	cAMP 水平 (Pmole)		P 值	cAMP 水平 (Pmole)			
	\bar{x}	SE		\bar{x}	SE		
0	23.51	4.17	<0.05	16.68	2.35	<0.05	
5	27.36	4.10	<0.01	23.94	3.51	<0.01	
10	24.48	3.46	<0.01	29.94	5.20	<0.01	
15	30.51	3.94	<0.01	26.95	5.16	<0.05	
30	26.30	4.89	<0.01	21.54	4.06	<0.05	
45	20.91	2.79	<0.05	18.63	3.48	<0.05	
60	14.03	3.41	>0.05	11.73	2.55	>0.05	
对照	11.01	0.98		9.67	0.84		

注: 1. 表 1 是 3 次实验的结果,每次平行管一式三份。2. cAMP 水平以 3×10^7 个淋巴细胞表示。3. 显著性检验以单独淋巴细胞组为对照。

表 2 iRNA 和“正常” RNA 对小鼠脾淋巴细胞内 cGMP 水平影响的时间过程

温育时间 (分)	iRNA			“正常” RNA		P 值	
	cGMP 水平 (Pmole)		P 值	cGMP 水平 (Pmole)			
	\bar{x}	SE		\bar{x}	SE		
0	0.67	0.16	>0.05	0.67	0.13	>0.05	
10	0.51	0.12	>0.05	0.62	0.09	>0.05	
15	0.57	0.11	>0.05	0.58	0.10	>0.05	
30	2.03	0.16	<0.01	0.58	0.10	>0.05	
45	0.50	0.14	>0.05	0.56	0.08	>0.05	
60	0.46	0.11	>0.05	0.49	0.09	>0.05	
对照	0.66	0.05		0.57	0.08		

注: 1. 表 2 是 3 次实验的结果,每次平行管一式三份。2. cGMP 水平以 3×10^7 淋巴细胞表示。3. 显著性检验以单纯脾淋巴细胞组为对照。

(图1),由图可见淋巴细胞与“正常”RNA温育时,cGMP/cAMP比值在60分钟内波动不明显。而经iRNA温育的淋巴细胞,cGMP/cAMP比值30分钟时显著增高,相当于“正常”RNA同一时间点的282.9%,说明cGMP水平增高。

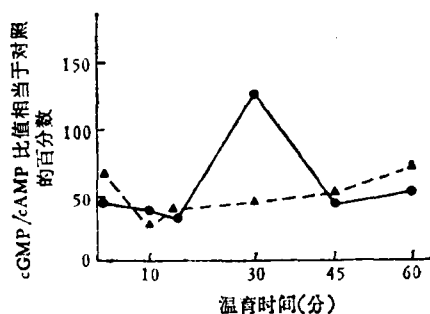


图1 iRNA 和“正常”RNA 对小鼠脾淋巴细胞内 cGMP/cAMP 比值的影响
▲—▲“正常”RNA ●—● iRNA

2.为了证明cAMP或cGMP水平的变化是否与iRNA完整结构有关,用经RNase处理(RNase 25μg/iRNA 5mg)的iRNA 500μg与 3×10^7 个小鼠脾淋巴细胞一同温育不同的时间,测定发现经RNase消化后,iRNA对细胞内cAMP

表3 iRNA 体外传递细胞介导细胞毒性的效应

	细胞毒性指数 (%)	P 值
正常淋巴细胞	4.4±1.7	
“正常”RNA	5.7±2.1	>0.05(f=22)
iRNA	54.0±5.8	<0.01(f=28)
DNase	28.5±3.2	<0.01(f=24)
Pronase	31.1±2.2	<0.01(f=24)
RNase	6.4±2.3	>0.05(f=19)

注:1.显著性检验以正常淋巴细胞组为对照。2.均数±SE。3.f代表自由度。

或cGMP的影响消失。这说明完整分子iRNA才有活性。

3.用³H-Leu及⁵¹Cr释放试验测异种iRNA传递细胞介导细胞毒性结果见表3和4。表3证明异种iRNA体外致敏小鼠脾淋巴细胞对

S-180肉瘤细胞,在效应细胞与靶细胞为300:1时具有明显的杀伤作用,并且RNase能使iRNA活性完全消失,但iRNA活性对DNase和Pronase具有抗性。因为实验用的DNase中含有一定量的RNase,故经DNase消化的iRNA细胞毒性参数降低。另外,Pronase处理iRNA后,细胞毒性参数也有降低。这两种可能:一是iRNA经Pronase消化后,在酚-SDS、氯仿等再次提取过程中,一部分iRNA被破坏了,二是Pronase制剂中或实验用的容器污染有少许RNase。表4说明只有iRNA_{H22}才能使正

表4 iRNA 体外传递肿瘤特异性细胞介导细胞毒性的效应

	细胞毒性指数 (%)	P 值
正常淋巴细胞	23.8±0.76	
“正常”RNA	24.9±1.33	>0.05(f=12)
iRNA _{S-180}	29.8±4.82	>0.05(f=16)
iRNA _{H22}	42.7±0.20	<0.01(f=16)

常小鼠脾淋巴细胞转变成对H₂₂肿瘤细胞具有特异性毒性效应,而经iRNA_{S-180}温育的淋巴细胞则对H₂₂靶细胞无明显的毒性作用。因此,可以认为本文所用的iRNA是一种带有特异性免疫信息的iRNA。

参 考 文 献

- [1] Scherrer, K. D. et al.: *Biochem. Biophys. Res. comm.*, 7, 486, 1962.
- [2] Udupa, T. N. S. et al.: *J. Immunol. Meth.*, 33, 201, 1980.
- [3] David, G. et al.: *J. Immunol.*, 116, 696, 1976.
- [4] 陈南春等:《第四军医大学学报》,1,35,1982。
- [5] 黄莉莉等:《第四军医大学学报》,1,37,1982。
- [6] Wang, B. S. et al.: *Clin. Immunol. Immunopathol.*, 9(2): 218, 1978.
- [7] 陈苏民:《第四军医大学学报》,4,389,1980。
- [8] 陈苏民等:《第四军医大学学报》,1,7,1980。

[本文于1983年4月12日收到]